Best Papers Chirurgie hépatique

Sophie Chopinet Hôpital de la Timone, Marseille







Thermoablation vs chirurgie

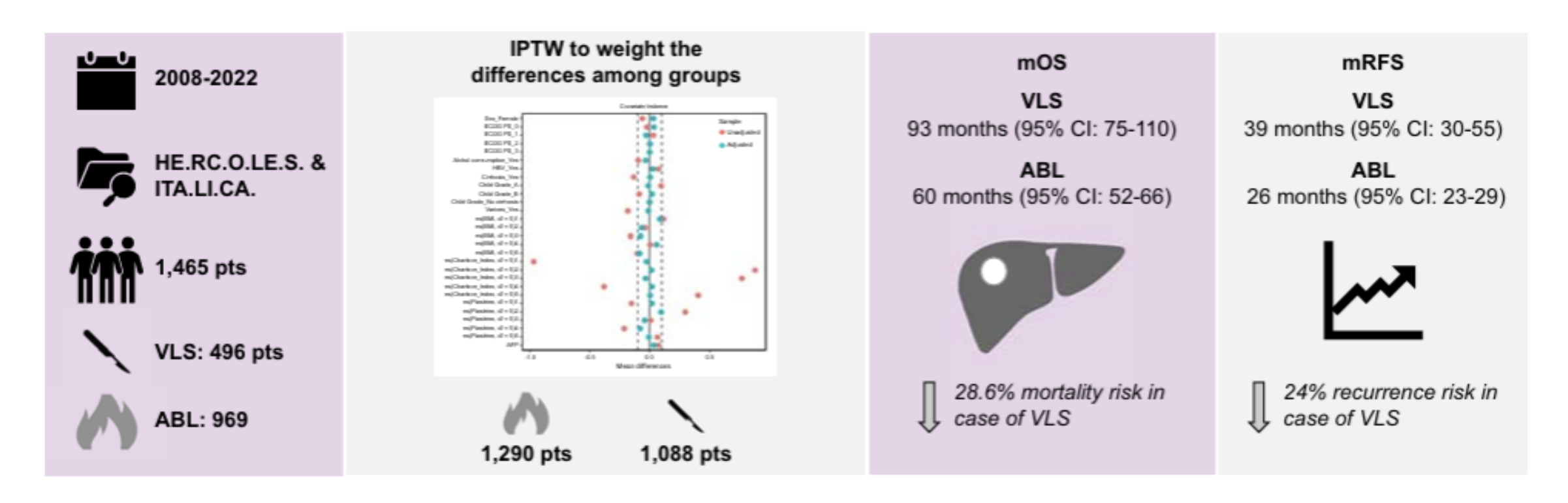
Chirurgie robotique et mini-invasive

Complications après hépatectomie

THERMOABLATION VS CHIRURGIE MINI INVASIVE

CHC ≤ 3 cm

Minimally invasive hepatectomy *vs.* thermoablation for single small (≤3 cm) hepatocellular carcinoma: A weighted real-life national comparison



En faveur chirurgie mini invasive

Essai Collision MHCCR

Thermal ablation versus surgical resection of small-size colorectal liver metastases (COLLISION): an international, randomised, controlled, phase 3 non-inferiority trial

Susan van der Lei*, Robbert S Puijk*, Madelon Dijkstra, Hannah H Schulz, Danielle J W Vos, Jan J J De Vries, Hester J Scheffer, Birgit I Lissenberg-Witte, Luca Aldrighetti, Mark Arntz, Maarten W Barentsz, Marc G Besselink, Bart Bracke, Rutger C G Bruijnen, Tineke E Buffart, Mark C Burgmans, Thierry Chapelle, Marielle M E Coolsen, Sanne W de Boer, Francesco de Cobelli, Koert de Jong, Johannes H W de Wilt, Arjen L Diederik, Anniek M C Dooper, Werner A Draaisma, Hasan H Eker, Joris I Erdmann, Jurgen J Futterer, Bart Geboers, Gerie M C Groot, Jeroen Hagendoorn, Henk H Hartgrink, Karin Horsthuis, Rob Hurks, Sjoerd F M Jenniskens, Matthijs Kater, Geert Kazemier, Jakob W Kist, Joost M Klaase, Robrecht R M M Knapen, Johan W H Kruimer, Armand B G N Lamers, Wouter K G Leclercq, Gerrit-Jan Liefers, Eric R Manusama, Mark A J Meier, Marleen C A M Melenhorst, J Sven D Mieog, Quintus I Molenaar, Karin Nielsen, Maarten W Nijkamp, Vincent B Nieuwenhuijs, Irene M G C Nota, Bart Op de Beeck, Christiaan G Overduin, Gijs A Patijn, Fons H Potters, Francesca Ratti, Floris J Rietema, Simeon J S Ruiter, Evelien A C Schouten, Wilhelmina H Schreurs, Gianpiero Serafino, Colin Sietses, Gerrit D Slooter, Maarten L J Smits, Ezgi A Soykan, Gert-Jan Spaargaren, Martijn W J Stommel, Florentine E F Timmer, Laurens J van Baardewijk, Ronald M van Dam, Otto M van Delden, Bente A T van den Bemd, Janneke E van den Bergh, Peter B van den Boezem, Christiaan van der Leij, Rutger W van der Meer, Bram B M van der Meijs, Augustinus P T van der Ploeg, Jeroen J van der Reijden, Peter van Duijvendijk, Arian R van Erkel, Anne M van Geel, N Tjarda Van Heek, Christiaan J van Manen, Carla S P van Rijswijk, Jan Hein T M van Waesberghe, Kathelijn S Versteeg, Ted Vink, Ijsbrand A J Zijlstra, Barbara M Zonderhuis, Rutger-Jan Swijnenburg, M Petrousjka van den Tol†, Martijn R Meijerink†

But comparer Thermoablation vs chirurgie ≤ 3 cm

Etude de non-infériorité CJP Survie globale Lancet oncol

1 à 10 lésions

300 patients
29 mois de suivi médiane
la survie globale identique
Mortalité 2% chirurgie vs 0% Tha
Les critères secondaires en défaveur
du bras chirurgical:
Durée d'hospitalisation
Nombre d'effets indésirables
Contrôle tumoral local

Etude interrompue car les critères d'analyse intermédiaires ont été atteints.

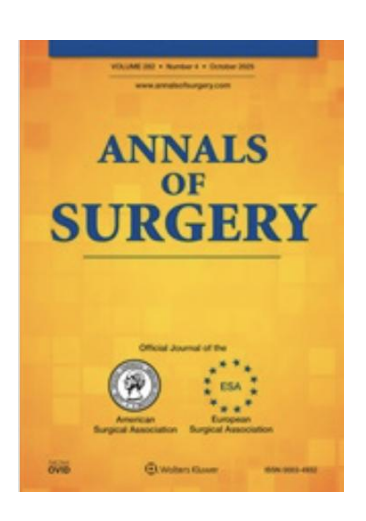
CHIRURGIE ROBOTIQUE

Recommendations on Robotic Hepato-Pancreato-Biliary Surgery. The Paris Jury-Based Consensus Conference

Christian Hobeika, MD, PhD,* Matthias Pfister, MD,†‡ David Geller, MD,§
Allan Tsung, MD, || Albert Chi-Yan Chan, MD,¶ Roberto Ivan Troisi, MD, PhD,#
Mohamed Rela, MD,** Fabrizio Di Benedetto, MD, PhD,†† Iswanto Sucandy, MD,‡‡
Yuichi Nagakawa, MD, PhD,§§ R. Matthew Walsh, MD,|||| David Kooby, MD,¶¶

Jeffrey Barkun, MD,##⊠ Olivier Soubrane, MD, PhD,***⊠

Pierre-Alain Clavien, MD, PhD,†‡⊠ and
on behalf of the ROBOT4HPB consensus group

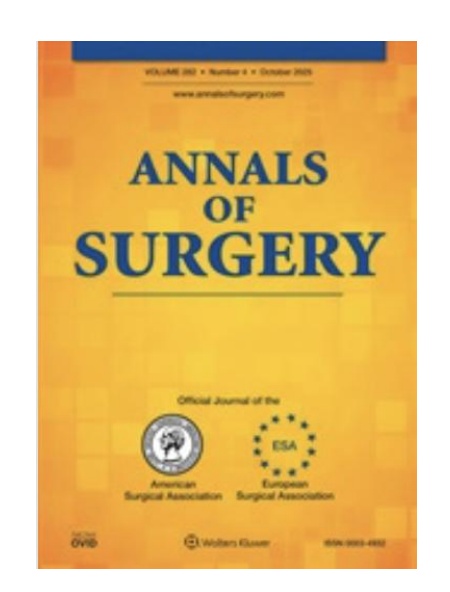


Novel Benchmark for Robotic Liver Resection – Bridging Tradition with Innovation

Li, Zhihao MD*; Pfister, Matthias MD†; Raptis, Dimitri A. MD, MSc, PhD‡; Ma, Yong MD, PhD⁵; Yang, Guangchao MD, PhD[§]; Li, Lingiang MD, PhD[§]; Song, Xuan MD, PhD[§]; Millet, Guillaume MD[†]; Truant, Stéphanie MD, PhD[†]; Venezia, Raphael MD¶; Jeddou, Heithem MD#; Le Floch, Bastien MD#; Valverde, Alain MD**; Peru, Nicolas MD**; Pessaux, Patrick MD, PhD††; Codiglione, Fabio Giannone MD, PhD††; Mabrut, Jean-Yves MD, PhD^{\$5}; Mohkam, Kayvan MD, PhD^{§§}; Cunha, Antonio Sa MD, PhD^{II}; Salloum, Chady MD^{II}; Blanc, Pierre Y. MD, PhD^{¶¶}; Roy, Bertrand Le MD, PhD¶¶; Goumard, Claire MD, PhD##; Scatton, Olivier MD, PhD##; Tzedakis, Stylianos MD, PhD***; Fuks, David MD, PhD***; Chaoui, Ismael MD**†; Rammohan, Ashwin MD**‡; da Silva, Silvia Gomes MD^{§§§}; Sobral, Mafalda S.N. MD^{§§§}; Lopez-Lopez, Victor MD^{III}; Centonze, Leonardo MD^{¶¶¶,##}; Zhu, Zhu MD, PhD****; Ratti, Francesca MD, PhD****; Marino, Rebecca MD****; Rompianesi, Gianluca MD****; Dong, Yawen MD⁵⁵⁵⁵; Shah, Jimmy MHA^{III}; Müller, Philip C. MD^{¶¶¶}¶; Wakabayashi, Taiga MD^{###}; Coelho, Fabricio F. MD, PhD*****; Castillo-Flores, Samy MD*****; Lee, Boram MD*****; Viti, Virginia MD*5555; Kato, Yutaro MD****; Boggi Ugo MD, PhD¶¶¶¶¶; Han, Ho-Seong MD, PhD*****; Polanco, Patricio MD*****; Goh, Brian K.P. MD*******; Cheung, Tan-To MD^{††††††}; Efanov, Mikhail MD, PhD^{‡‡‡‡‡}; Panaro, Fabrizio MD^{\$55555}; Machado, Marcel MD^{****} Herman, Paulo MD*****; Wakabayashi, Go MD, PhD**; Ielpo, Benedetto MD""; Müller, Beat P. MD¶¶¶¶; Mejia, Alejandro MDIIII; Starlinger, Patrick MD, PhD§555; Martinie, John MD¶¶¶¶¶¶; Troisi, Roberto I. MSc, MD, PhD****; Aldrighetti, Luca MD, PhD****; Chen, Guodong MD, PhD****; Robles-Campos, Ricardo MDIII; Choi, Gi Hong MD, PhD#####; Liu, Rong MD, PhD*******; Di Benedetto, Fabrizio MD, PhD******; Marques, Hugo Pinto MD^{\$\$\$}; Sucandy, Iswanto MD^{‡‡‡‡‡‡}; Rela, Mohamed MD^{‡‡‡}; D'Hondt, Mathieu MD, PhD^{†††}; Brustia, Raffaele MD, PhD¹; Soubrane, Olivier MD, PhD⁵⁵⁵⁵⁵⁵⁵; Broering, Dieter C. MD, PhD[‡]; Clavien, Pierre-Alain MD, PhD^{*,†}

An APRI+ALBI-Based Multivariable Model as a Preoperative Predictor for Posthepatectomy Liver Failure

Jonas Santol, MD,*†‡ Sarang Kim,§ Lindsey A. Gregory, PA-C, MS,†
Ruth Baumgartner, MD,∥ Anastasia Murtha-Lemekhova, MD,¶
Emrullah Birgin, MD,# Severin Gloor, MD,** Eva Braunwarth, MD,††
Markus Ammann, MD,‡‡ Johannes Starlinger, MD, PhD,§§
David Pereyra, MD, PhD,∥∥ Daphni Ammon, MD,∥∥ Marijana Ninkovic, MD,††
Anna E. Kern,∥∥ Benedikt Rumpf, MD,¶¶ Gregor Ortmayr, MD,##
Yannic Herrmann,§ Yawen Dong, MD,* Felix X. Huber,§ Jeremias Weninger,§
Cornelius A. Thiels, DO, MBA,† Susanne G. Warner, MD,† Rory L. Smoot, MD,†
Mark J. Truty, MD,† Michael L. Kendrick, MD,† David M. Nagorney, MD,†
Sean P. Cleary, MD,†*** Guido Beldi, MD,** Nuh N. Rahbari, MD,#
Katrin Hoffmann, MD, MBA,¶ Stefan Gilg, MD, PhD,††† Alice Assinger, PhD,‡
Thomas Gruenberger, MD,* Hubert Hackl, PhD,‡‡‡
and Patrick Starlinger, MD, PhD†|||§§§⊠



(Ann Surg 2025;281:861-871)

IHPO 10-15% hépatectomies Principale cause de mortalité

But

prédire le risque d'insuffisance hépatique post-opératoire (IHPO) grades B et C Comparer la performance du score APRI+ ALBI à ICG-R15, FIB-4, le score ALICE

Scores APRI - ALBI

Score APRI

$$ext{APRI} = \left(\frac{ ext{AST}}{ ext{limite supérieure normale AST}} \right) \div ext{numération plaquettaire} imes 100$$

Score ALBI

$$ALBI = (log_{10} bilirubine \times 0.66) + (albumine \times -0.085)$$

MÉTHODE

Cohorte d'entraînement N= 12056 base NSQIP

Variables du modèle

APRI + ALBI Type de Tumeur Sexe Age

Cohorte de validation externe

N=2525

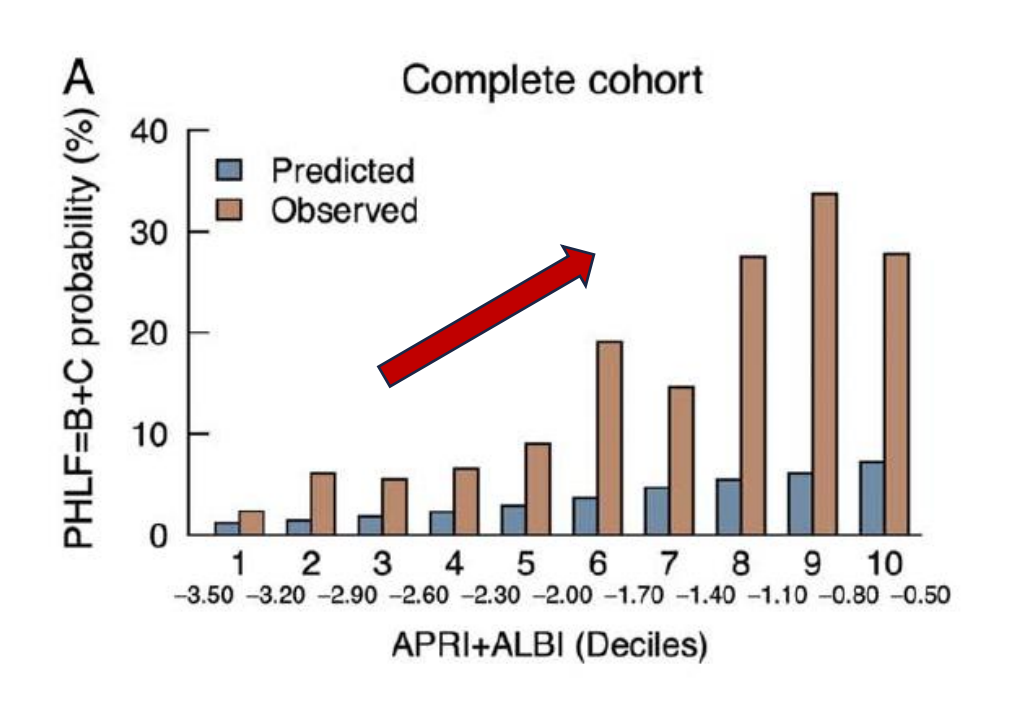
10 centres 5 pays

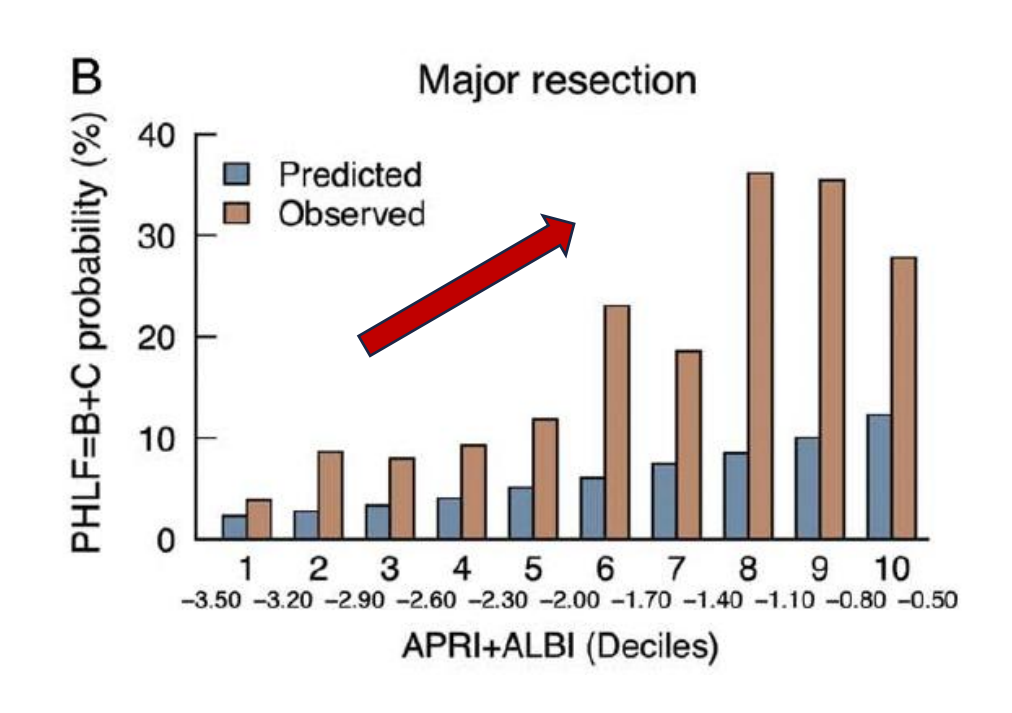
Comparaison n=620

ICG R15,ICG-PDR PDR, FIB 4, ALICE

RÉSULTATS NOMOGRAMME PREDICTIF

Cohorte NSQIP

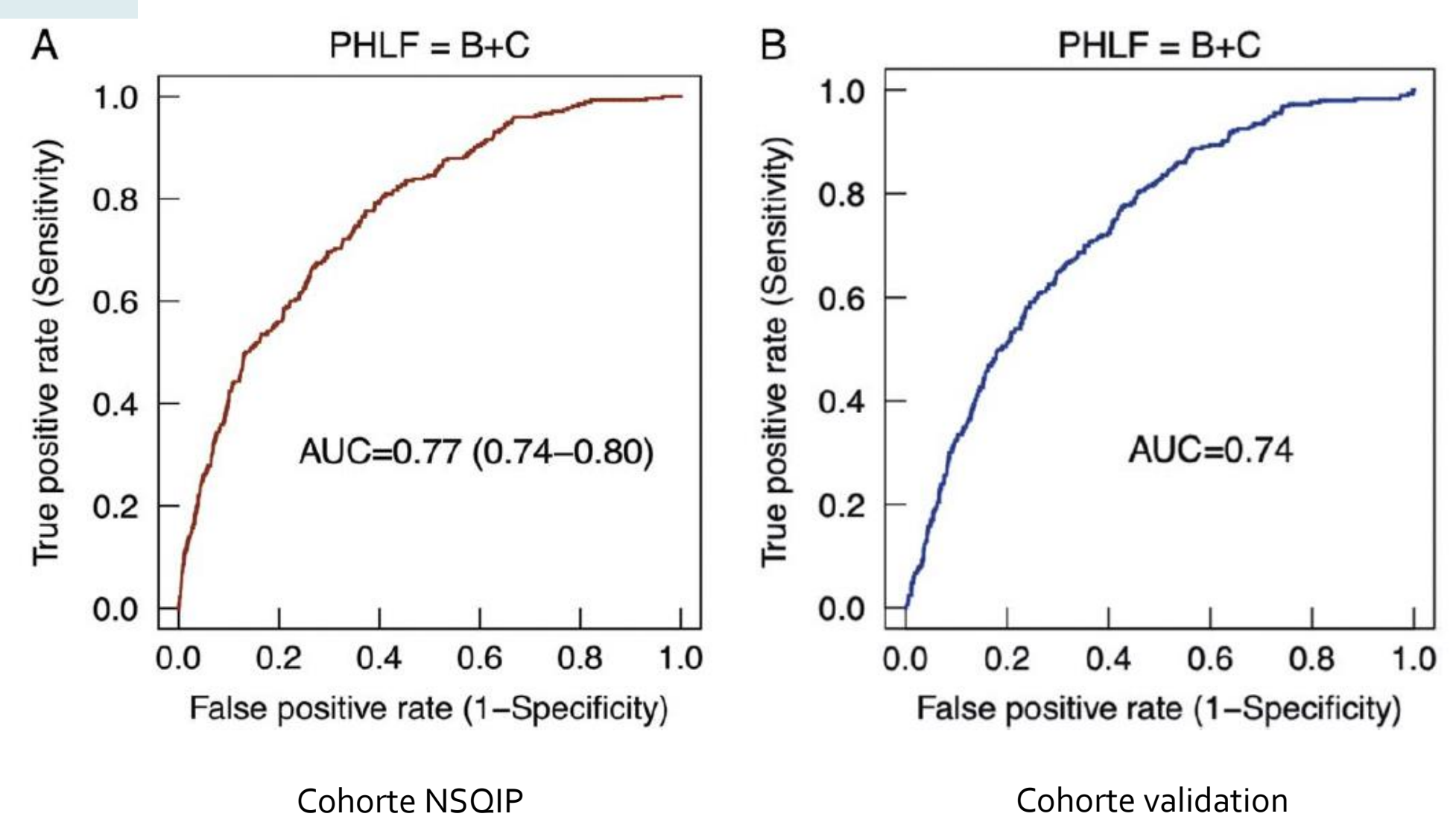




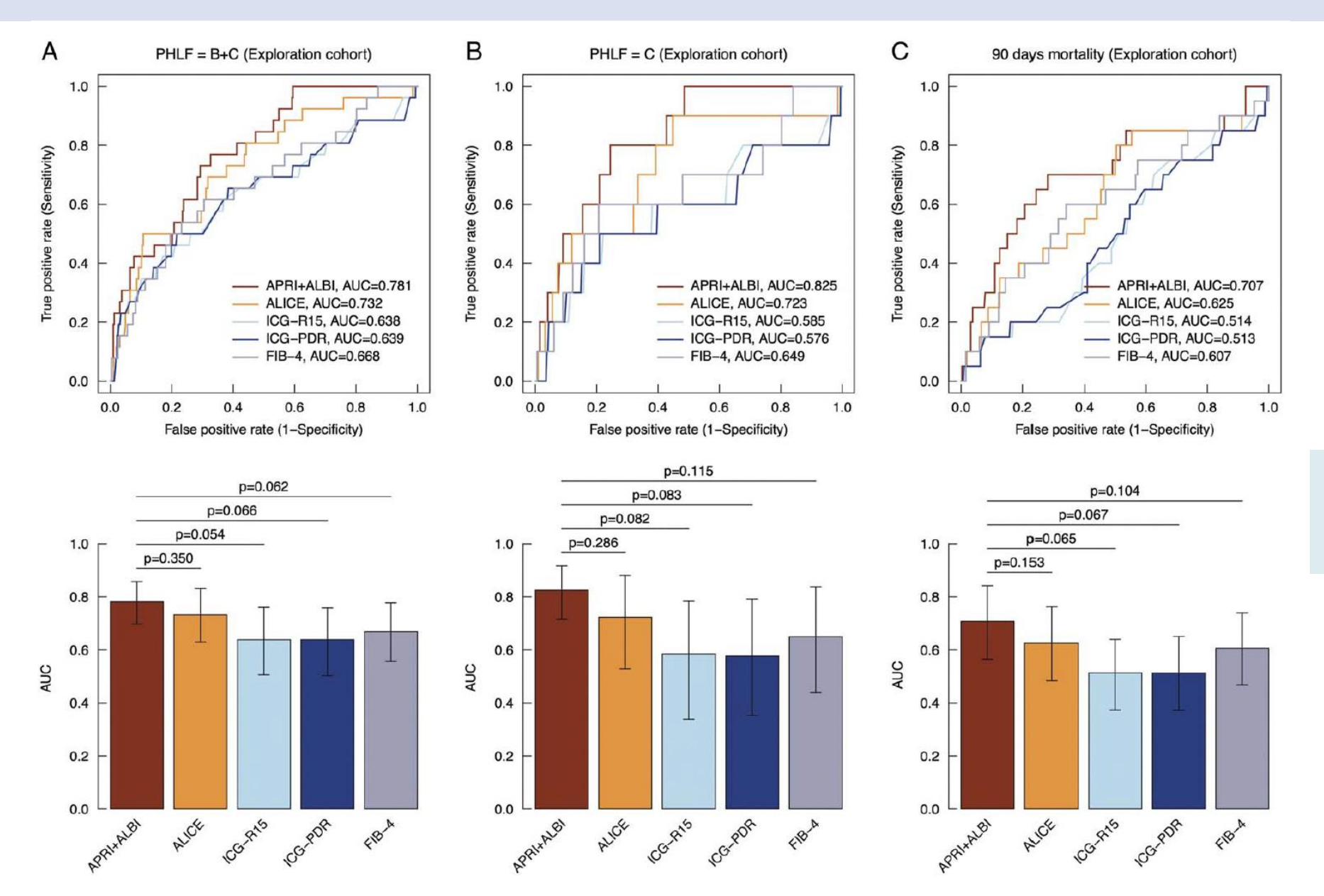
Augmentation de IHPO avec augmentation score APRI + ALBI dans la cohorte entière et pour les hépatectomies majeures

PERFORMANCE DUTEST APRI + ALBI

Courbe ROC



COMPARAISON AUX AUTRES TESTS



Performance équivalente

TEST PRÉDICTIFS

Score/Test	Type de test	Indicateur	Avantages	Inconvénients	
APRI+ALBI	Statique	Fibrose (APRI) + Fonction hépatique (ALBI)	biologie standard simple fiable	Moins précis pour causes extra-hépatiques	
FIB-4	Statique	Fibrose hépatique	Simple	Moins performant chez les jeunes ou en zone grise	
ICG-R15	Dynamique	Clairance ICG à 15 min	Test rapide Fiable	Influencé par cholestase, nécessite injection et matériel spécifique	
ICG-PDR	Dynamique	Vitesse d'élimination de l'ICG	Évaluation directe, mesure fonction hépatique globale	Coûteux, matériel, dépend de la perfusion hépatique	
ALICE	Composite	Albumine + ICG-R15	Intègre clairance et synthèse hépatique	Nécessite test ICG	

CONCLUSION

Même performance du test APRI + ALBI Intérêt pratique clinique simple, facile à réaliser Test biologique standard Application smartphone **TELLAPRIALBI**

Remarques

Pas de prise en compte de la volumétrie

APRI et ALBI sensibles à des conditions hors hépatopathies

Thrombopénie non liée au foie

Hypoalbuminémie de dénutrition

Hypovolaemic phlebotomy in patients undergoing hepatic resection at higher risk of blood loss (PRICE-2): a randomised controlled trial

Guillaume Martel, François Martin Carrier, Christopher Wherrett, Tori Lenet, Katlin Mallette, Karine Brousseau, Leah Monette, Aklile Workneh, Monique Ruel, Elham Sabri, Heather Maddison, Melanie Tokessy, Patrick B Y Wong, Franck Vandenbroucke-Menu, Luc Massicotte, Michaël Chassé, Yves Collin, Michel-Antoine Perrault, Élodie Hamel-Perreault, Jeieung Park, Shirley Lim, Véronique Maltais, Philemon Leung, Richard W D Gilbert, Maja Segedi, Jad Abou Khalil, Kimberly A Bertens, Fady K Balaa, Timothy Ramsay, Alan Tinmouth, Dean A Fergusson

Lancet Gastroenterol Hepatol 2025; 10: 114–24

Evaluer l'efficacité de la phlébotomie hypovolémique pour réduire les transfusions avant hépatectomie

Patients à haut risque de saignement

Rationnel

Hémorragie peropératoire et la transfusion sont associés à un mauvais pronostic à long terme

Difficulté dissection, augmentation R1

Oncologique immunomodulateur entre transfusion et récidive

Baisse PVC

Hypovolémie

Clampage VCI

METHODES

Essai randomisé contrôlé

n=446 répartis en deux groupes : Phlébotomie (223) vs contrôle (223)

Inclusion

Hépatectomies majeures

≥3 segments , VI-VII, IVb-V, monosegment + cirrhose

Exclusion

Hb < 10g/dL, Atcd cardio, AVC

Randomisation 1 : 1 stratifiée par centre au bloc Aveugle sauf pour le MAR après l'induction 490-700mL collecteur don du sang toujours autotransfusion fin chirurgie Facteurs de risque transfusion : anémie, hépatectomie majeure, Tumeurs primitives foie

RÉSULTATS

	Hypovolaemic phlebotomy (n=223)	Usual care (n=223)
Age, years	61.4 (13.0)	62.1 (12.1
Sex		
Male	137 (61%)	114 (51%)
Female	86 (39%)	109 (49%)
BMI, kg/m²	27.4 (6.0)	27.5 (6.0)
American Society of Anesthesiologists class ≥3	127 (57%)	125 (56%)
Charlson comorbidity index	7 (5–8)	7 (5–8)
Preoperative chemotherapy	82 (37%)	97 (43%)
Preoperative anaemia	65 (29%)	62 (28%)
Primary liver malignancies	78 (35%)	71 (32%)
Metastatic colorectal cancer	108 (48%)	116 (52%)
Major liver resections	192 (86%)	187 (84%)
Laparoscopic resection, completed	23 (10%)	17 (8%)
Additional intraoperative procedures	39 (17%)	47 (21%)
Transfusion risk score		
0	37 (17%)	41 (18%)
1	111 (50%)	111 (50%)
2	68 (30%)	62 (28%)
3	7 (3%)	9 (4%)
Higher wiels (- 2)	75 (34%)	71 (32%)
Higher risk (≥2)		

Octobre 2018- janvier 2023

Critère de jugement principal

Transfusions 8% phlébotomie vs 16% contrôle

Pas d'augmentation des complications majeures (17% vs 16%)

Pas plus de mortalité à 90 jours

IMPRESSION DU CHIRURGIEN

	Hypovolaemic phlebotomy (n=223)	Usual care (n=223)	Risk difference*	Risk ratio*	Adjusted effect size†	p value‡
Impression that hypovolaemic phlebotomy was done	109 (50%)§	76 (35%)¶	14·4% (5·4 to 23·5)	1·44 (1·13 to 1·83)	1·44 (1·13 to 1·83)	0.0028
Blinding maintained	214 (97%)	216 (98%)	-0.8% (-4.0 to 2.4)	0.99 (0.96 to 1.03)	0·99 (0·96 to 1·02)	0.47
Difficulty of liver resection (1 to 10)	5.6 (2.3)	5.7 (2.2)**	-0.09 (-0.8 to 0.6)	•	-0·18 (-0·84 to 0·48)	0.45
Easier category, score ≤4	73 (33%)	66 (30%)	2·7% (-5·9 to 11·4)	1.09 (0.83 to 1.44)	1·13 (0·85 to 1·49)††	0.40
Difficulty of liver parenchymal transection (1–10)	4.8 (2.2)	5.2 (2.2)‡‡	-0·4 (-1·1 to 0·3)	**	-0·50 (-1·16 to 0·15)	0.092
Easier category, score ≤4	110 (49%)	84 (38%)	10·9% (1·7 to 20·1)	1.28 (1.03 to 1.58)	1.36 (1.09 to 1.69)	0.0063
Impression of blood loss during transection (1 to 10)	4.7 (2.3)	5.3 (2.3)‡‡	-0.6 (-1.3 to 0.1)	•	-0.63 (-1.30 to 0.051)	0.060
Lowest category, score ≤4	110 (50%)	86 (39%)	10·4% (1·1 to 19·6)	1.26 (1.02 to 1.55)	1·34 (1·10 to 1·64)	0.0034
Impression of venous filling during transection (1 to 10)	4.6 (2.1)	5.2 (2.1)§	-0.6 (-1.2 to 0.06)		-0.62 (-1.27 to 0.02)	0.055
Emptier category, score ≤4	120 (54%)	82 (37%)	66.7% (7.5 to 25.8)	1·44 (1·17 to 1·76)	1·45 (1·19 to 1·77)	0.00030

Data are n (%), median (IQR), mean (SD). *Adjusted for clustering by centre. \dagger Effect sizes refer to risk ratios for dichotomous outcomes and mean differences for continuous outcomes. \dagger All p-values pertain to adjusted effect sizes. \S n=220. \P n=218. \parallel n=211. **n=200. \dagger †Adjusted effect size was generated with log-Poisson distribution. \dagger ‡n=219.

Table 3: Blinded surgeon perception outcomes

Questionnaires « impression chirurgien » Transsection facilitée groupe phlébotomie Remplissage veineux moindre groupe phlébotomie

CONCLUSION

Patients à haut risque transfusionnel

Phlébotomie avant hépatectomie - moins de transfusions

Diminution pertes sanguines

Amélioration des conditions de transsection

Remarques

faible nombre de chirurgie mini-invasive dans l'étude 9%

Augmentation fistule biliaires grade A groupe phlébotomie 16%vs 9%



Best Papers Chirurgie hépatique

Sophie Chopinet Hôpital de la Timone, Marseille



